



کالن شناسی و زمین دما فشارسنجدی شیستهای متاپلیتی، آمفیبولیت و گارنت آمفیبولیت-های مجموعه دگرگونی گل‌گهر، جنوب غرب سیرجان، ایران مرکزی

رضوان میرزاچی راینی^{*}، علی احمدی^۱، حسن میرنژاد^۲، محمدبومری^۱، کازوناکاشیما^۳

۱-دانشگاه سیستان و بلوچستان، دانشکده علوم، گروه زمین شناسی

۲-دانشگاه تهران، پردیس علوم، دانشکده زمین شناسی

۳-بخش علوم زمین دانشگاه یامگاتا، ژاپن

(دریافت مقاله: ۹۷/۱۱/۲۴، نسخه نهایی: ۹۸/۳/۲۰)

چکیده: مجموعه دگرگونی گل‌گهر در ۵۵ کیلومتری جنوب غرب سیرجان و در بخش شرقی پهنه سندج-سیرجان قرار دارد. این مجموعه از سنگ‌های متاپلیتی، متاگریوکی و متاکربناتی تشکیل شده است. شواهد صحرایی و بررسی‌های زمین‌شیمیایی نشان می‌دهند که سنگ مادر این سنگ‌ها شامل تناب شیل و ماسه سنگ به همراه لایه‌های کربناتی در بخش بالایی بوده است. در متاپلیت‌های مورد بررسی، گارنت‌ها غنی از آلماندن (۶۱٪-۶۳٪ درصد) هستند. ترکیب بیوتیت‌ها در گستره بین سیدروفیلیت و آنیت و ترکیب پلازیوکلاز از آلیت تا انورتیت (در آمفیبولیت‌ها و گارنت آمفیبولیت‌ها) و الیگوکلاز و آندزین (در شیسته‌ها) متغیر است. بررسی‌ها نشان می‌دهد که آمفیبولیت و گارنت آمفیبولیت‌ها از نوع پارا آمفیبولیت هستند. دماهایی به دست آمده بر اساس زوج گارنت-بیوتیت و فشارهای برآورده شده با روش گارنت-بیوتیت-پلازیوکلاز-کوارتز (GPBQ) برای این سنگ‌ها نشان می‌دهد که شیسته‌های متاپلیتی منطقه گل‌گهر در گستره دمایی ۵۷۸-۵۵۰ درجه سانتی‌گراد و گستره فشاری ۳/۷ تا ۴/۶ کیلوبار (رخسارهای شیست سبز و آمفیبولیت پایینی) تشکیل شده‌اند. بررسی‌های دما-فشارسنجدی انجام شده بر اساس شیمی کالنی آمفیبول در آمفیبولیت‌ها و گارنت آمفیبولیت‌ها به ترتیب دمای ۵۸۹ تا ۶۱۳ و ۶۱۳ تا ۶۴۱ درجه سانتی‌گراد و فشارهای ۴/۷ تا ۴/۹ و ۵/۶ کیلوبار را نشان می‌دهند که بیانگر شرایط رخساره آمفیبولیت می‌اند. شواهد صحرایی و بررسی‌های زمین‌شیمیایی نشان‌دهنده تغییر ناشی از افزایش دما و فشار دگرگونی از شیسته‌ها تا آمفیبولیت و گارنت آمفیبولیت است که با شواهد همبودی کالنی‌ها همخوانی کامل دارد.

واژه‌های کلیدی: زمین دما فشارسنجدی؛ شیستهای متاپلیتی؛ آمفیبولیت؛ گارنت آمفیبولیت؛ مجموعه دگرگونی گل‌گهر؛ پهنه سندج-سیرجان، ایران مرکزی.

مقدمه

گیری کانسار شماره ۲ گل‌گهر را بررسی کرده است. همبودی و سنگ‌زایی کانسار سنگ آهن گل‌گهر توسط پورخاک [۲] بررسی شده است. الگوی کانسارسازی، خاستگاه و شکل‌گیری کانسار به ترتیب توسط بابکی و آقتابی [۳]، بیاتی راد [۴] و اصغری [۵] بررسی شده است. زمین‌شیمی عناصر فرعی و کمیاب سنگ آهن و خاستگاه گوگرد و کالنی‌های سولفیدی موجود در سنگ آهن توسط ترابیان [۶] و دالفردی [۷] بررسی شده است. بیشتر بررسی‌های انجام شده در منطقه پیرامون

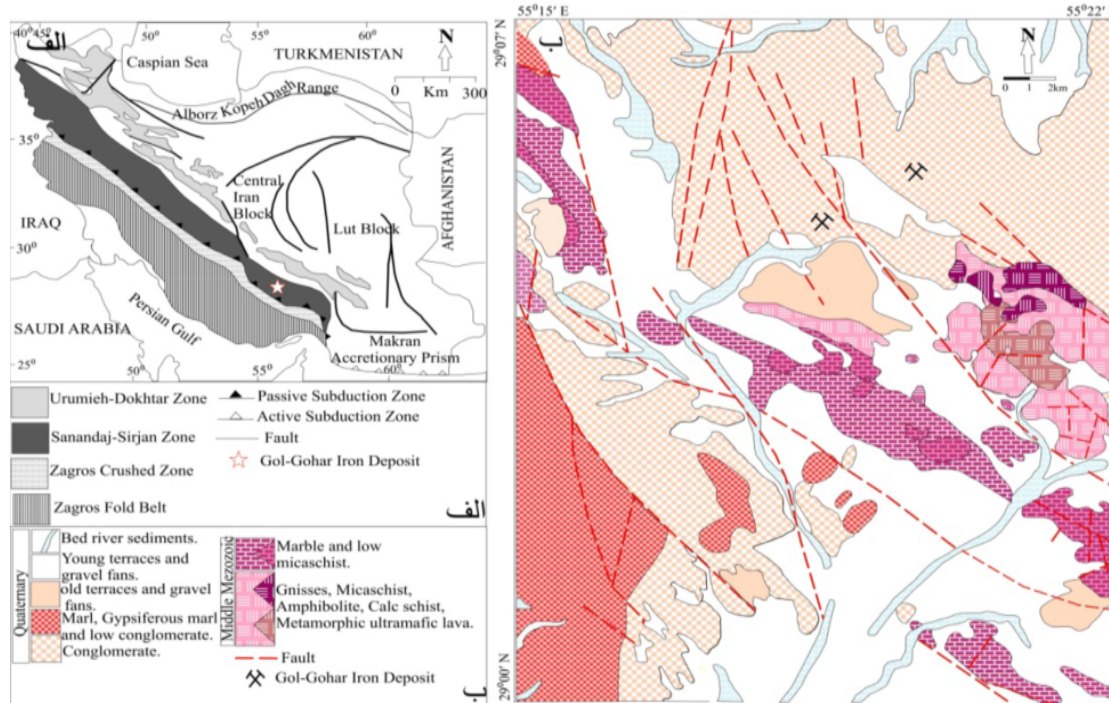
مجموعه دگرگونی گل‌گهر در جنوب غرب شهرستان سیرجان یکی از مناطق بسیار جالب و البته مهم، برای بررسی سرزمین-های دگرگون شده است، زیرا میزان یکی از بزرگترین کانسارهای آهن در ایران و خاورمیانه است. در این مجموعه، سنگ‌های دگرگونی مختلف از جمله متاپلیتی، متابازیتی و متاکربناتی وجود دارند. پژوهشگران مختلفی این منطقه بررسی کرده‌اند (برای مثال، [۸-۱۱]). یعقوبی [۱۱] زمین‌شیمی و شکل

سیرجان در جنوب شرق قرار دارد. در مقایسه با سنگ‌های آتشفشنایی و رسوب‌های مژوزوئیک که در پهنه سندج - سیرجان فراوان هستند، سنگ‌های پالئوزوئیک به نسبت کم هستند و تنها در بخش جنوبی این پهنه قرار دارند [۱۳]. سنگ‌های دگرگونی موجود در منطقه گل‌گهر عبارتند از متاپلیت‌ها، متابازیت‌ها و متاکربنات‌ها. متاپلیت‌ها موجود در منطقه به دلیل حضور کانی‌های شاخص رخساره شیست سبز به رنگ‌های سبز روشن تا تیره مایل به سیاه دیده می‌شوند و انواع سنگ‌های شیستی به شدت متورق تا گنیس‌ها را شامل می‌شوند. متابازیت‌ها شامل آمفیبول شیست‌ها، آمفیبولیت‌ها و گارتنت آمفیبولیت‌ها هستند که به دلیل سختی بالا، طی مشاهدات صحرایی به راحتی از سایر واحدها قابل شناسایی هستند. سنگ‌های متاکربناتی به صورت متناوب همراه با متاپلیت‌ها وجود دارند و نوک همه واحدهای سنگی منطقه را نیز پوشانده‌اند. اندازه‌گیری نسبت‌های ایزوتوپی آرگون به بیوتیت و هورنبلند شیست‌های مجموعه دگرگونی گل‌گهر، سن دگرگونی را ژوراسیک میانی نشان داده است [۱۴]. منطقه گل- گهر اغلب از آبرفت‌های عهد حاضر پوشیده شده‌اند و رخمنون- های محدودی از سنگ‌های دگرگونی در جنوب و جنوب‌غرب، سنگ‌های رسوبی در شرق و توده نفوذی گرانیت میلیونیتی شده به شکل گنبد کم ارتفاع در جنوب کانسار بروزند دارند [۱۲].

شکل گیری کانسار بوده است و دما و فشارسنگی متاپلیت‌های موجود در منطقه کمتر مورد توجه قرار گرفته است. سنگ‌های متاپلیتی در همسایگی کانسار قرار دارند. بررسی زمین‌شیمی و دما فشارسنگی سنگ‌های متاپلیتی از اهمیت بالایی برخوردار است. زمین دما فشارسنگی معتبر یکی از ابزارهای مهم و اساسی در تفسیر شرایط دگرگونی و فهم تکامل پوسته‌ای است [۸]. با پیشرفت‌های عمده در زمینه ترمودینامیک سنگ‌ها، بسیاری از زمین دماستح ها و زمین فشارها جهت تعیین شرایط دگرگونی سنگ‌ها از رخساره‌های شیست سبز تا گرانولیت و دماهای بالاتر و همچنین از فشارهای پایین تا بالا وجود دارند [۸]. در این پژوهش با استفاده از تجزیه شیمیایی نقطه‌ای (ریزپردازش الکترونی) کانی‌های بیوتیت، آمفیبول، گارتنت و پلازیوکلаз، شرایط دما و فشار حاکم بر دگرگونی در متاپلیت‌ها تعیین شده است. این نتایج می‌تواند در تفسیر نتایج مربوط به شکل گیری کانسار نیز مؤثر باشد.

زمین‌شناسی عمومی

مجموعه دگرگونی گل‌گهر در ۵۵ کیلومتری جنوب غرب شهرستان سیرجان و بخش جنوبی پهنه سندج-سیرجان [۹-۱۲] واقع است (شکل ۱). پهنه ساختاری سندج-سیرجان به صورت نوار باریکی با طول حدود ۱۵۰۰ کیلومتر و عرض تقریبی ۲۰۰ کیلومتر، بین شهرهای سندج در شمال غرب و



شکل ۱ (الف) موقعیت منطقه گل‌گهر بر پهنه ساختاری سندج-سیرجان و جایگاه این پهنه نسبت به دیگر پهنه‌های ساختاری در ایران [۱۱-۹]؛
ب) نقشه زمین‌شناسی منطقه گل‌گهر و موقعیت کانسار آهن گل‌گهر بر آن [۱۲].

گارنت میکاشیست: این سنگ‌ها اغلب در بردارنده بیوپیت (۳۰-۲۰)، موسکوپیت (۲۰-۲۰ درصد)، گارنت (۱۰-۲۰ درصد)، فلدسپار قلیایی از نوع ارتوکلاز (۵-۱۰ درصد)، کوارتز (۱۰-۱۵ درصد) به عنوان کانی‌های اصلی، و اپیدوت، کلریت، کلسیت و کانی‌هایی که در به عنوان کانی‌های فرعی هستند (شکل ۲ ب). گارنت‌های موجود در این نمونه‌ها بصورت شکل‌دار تا نیمه شکل‌دار و در اندازه‌هایی حدود ۵ میلیمتر تا یک سانتی‌متر حضور دارند و برخی از نمونه‌ها شامل میانبارهایی از کوارتز و بیوپیت هستند که بافت غربالی را تشکیل داده‌اند. تورق زمینه سنگ تورق تخته سنگی تا شیستوزیته ریزدانه است. مجموعه کانی‌های موجود در این سنگ نشان می‌دهد که سنگ در رخساره شیست سبز دگرگون شده است.

سیلیمانیت شیست: سیلیمانیت موجود در سیلیمانیت شیست-های منطقه گل‌گهر به صورت بلورهای بلند و سوزنی شکل دیده می‌شود که سبب تشکیل بافت نخ شکفتی در این سنگ‌ها شده است. سیلیمانیت شیستهای موجود در منطقه از کانی‌های اصلی گارنت (۱۵-۲۰ درصد)، بیوپیت (۲۰-۲۰ درصد)، موسکوپیت (۱۰-۱۰ درصد)، کوارتز (۵-۱۰ درصد)، فلدسپات قلیایی (۵-۱۰ درصد) و سیلیمانیت (۲۰-۳۰ درصد) تشکیل شده‌اند. کانی‌های کدر که بیشتر از نوع مگنتیت هستند به صورت فرعی در این سنگ‌ها حضور دارند (شکل ۲ پ). حضور سیلیمانیت در سنگ‌های منطقه نشان از افزایش دما و پیشرفت دگرگونی دارد.

آمفیبول شیست: این سنگ‌ها از مجموعه کانی‌های آمفیبول (۵-۲۰ درصد)، کوارتز (۱۰-۲۰ درصد)، کلریت (۱۰-۶۰ درصد)، موسکوپیت (۱۰-۵ درصد)، اپیدوت و کانی‌های کدر تشکیل شده‌اند. زوئیزیت و روتیل به طور کمیاب حضور دارند. آمفیبول‌های موجود در این سنگ‌ها بیشتر به صورت سوزنی هستند و بافت نخ شکفتی دارند (شکل ۲ ت). حضور فراوان آمفیبول‌های سوزنی در برخی از نمونه‌ها، سبب ایجاد خطوارگی چشم‌گیری شده است و عدم حضور پلاژیوکلاز در این سنگ‌ها انتخاب واژه آمفیبول شیست را برای این سنگ‌ها مناسب‌تر می‌کند. روتیل نیز در این نمونه‌ها با رنگ قهوه‌ای مایل به قرمز دیده می‌شود.

آمفیبولیت: در منطقه مورد بررسی، آمفیبولیت‌ها بیشتر به صورت همیافت با سایر سنگ‌ها به ویژه شیستهای دیده می‌شوند. این سنگ‌ها در نمونه دستی به رنگ سبز تیره بوده و منشورهای هورنبلند در این نمونه‌ها قابل مشاهده هستند. اجزای اصلی سازنده سنگ را کانی‌های هورنبلند، پلاژیوکلاز و

روش بررسی

برای دسترسی به هدف‌های یاد شده، پس از ارزیابی گزارش-های موجود، به بازدید از منطقه و بررسی شواهد صحرایی پرداختیم. از مغزه‌های حفاری و رخنمونهای سنگی نمونه-برداری شد و از نمونه‌های برداشته شده، تعداد ۱۰۰ مقطع نازک و نازک صیقلی تهیه شد. پس از بررسی‌های سنگنگاری بر اساس نوع کانی‌شناسی و رخساره‌های دگرگونی، تعدادی از مقاطع نازک صیقلی برای تجزیه شیمیایی کانی‌ها انتخاب شد. تجزیه شیمیایی نمونه‌ها توسط دستگاه ریزکاوالکترونی در بخش علوم زمین و محیط زیست دانشگاه یاماگاتای ژاپن، انجام شد. عناصر اصلی در کانی‌ها توسط ابرکاوشگر خودکار مدل JEOL JXA-8600M با ولتاژ شتاب دهنده ۱۵keV و جریان ۲nA تجزیه شدند. استانداردهای به کار رفته آپاتیت، SiO_2 , TiO_2 , Al_2O_3 , NaCl و Cr_2O_3 , Fe_2O_3 , MnO , MgO , CaF_2 زمین دما فشارسنگی بر اساس داده‌های به دست آمده، فرمول شیمیایی برای هر کانی محاسبه و سرانجام دما و فشار محاسبه شده و نتایج آن تفسیر شد.

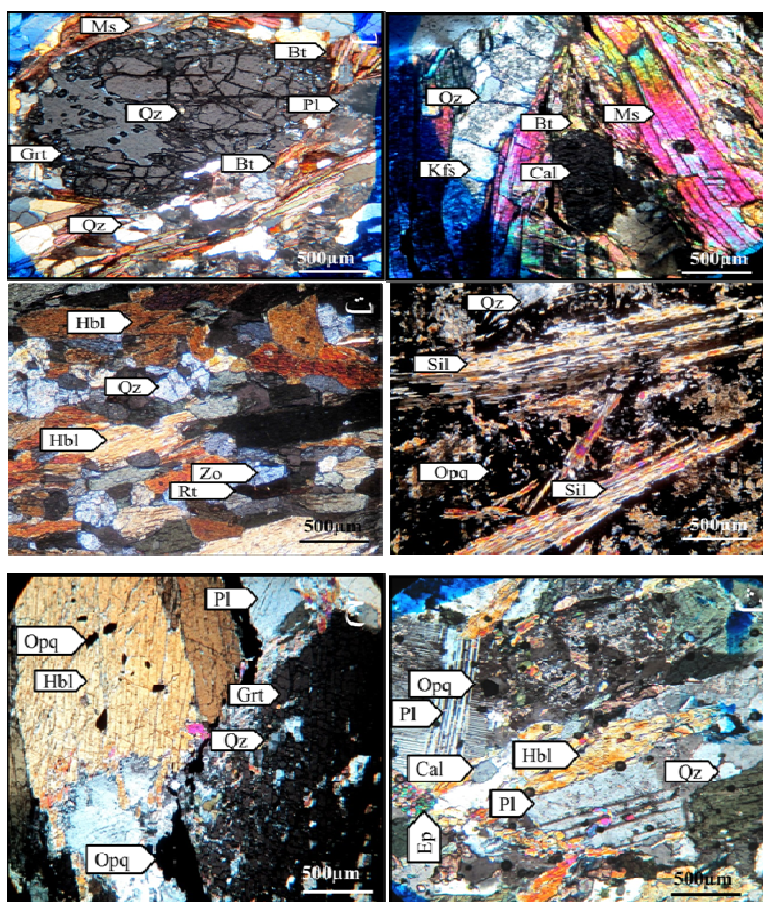
سنگنگاری سنگ‌های منطقه

متاپلیت‌ها از فراوان‌ترین سنگ‌های موجود در منطقه هستند. سطوح براق سنگ‌های متاپلیتی به دلیل حضور فراوان میکاهای، و شیستوارگی این سنگ‌ها در شناسایی آن‌ها طی مشاهدات صحرایی مؤثر است. این سنگ‌ها شامل: میکاشیست، گارنت میکاشیست‌ها و سیلیمانیت‌شیست‌ها هستند. متابازیت‌های موجود در منطقه گل‌گهر (آمفیبول شیست، آمفیبولیت و گارنت آمفیبولیت‌ها) بصورت همیافت با سنگ‌های متاپلیتی حضور دارند. ترکیب کانی‌شناسی و بررسی سنگ کل متابازیت-ها نشان می‌دهد که آن‌ها از نوع پارآمفیبولیت هستند. سختی سنگ‌های متابازیتی شناسایی آن‌ها را در مشاهدات صحرایی آسان کرده است.

میکاشیست‌ها: از نظر سنگنگاری، این سنگ‌ها دارای مجموعه کانی‌های اصلی کوارتز (۲۰-۳۰ درصد)، موسکوپیت (۲۰-۳۰ درصد)، بیوپیت (۲۰-۳۰ درصد)، پلاژیوکلاز (۱۰-۱۵ درصد) هستند. کلسیت، اپیدوت و کانی‌های کدر شامل مگنتیت و به مقدار کمتر پیریت (۵-۱۰ درصد) نیز به صورت کانی‌های فرعی حضور دارند (شکل ۲ الف). حضور کانی‌های میکایی سبب شیستوارگی نمایان و رنگ براق در این سنگ‌ها شده است. مجموعه کانی‌های موجود در این سنگ نشان می‌دهد که سنگ در رخساره شیست سبز دگرگون شده است.

در زمینه سنگ دیده می‌شوند. گارنت آمفیبولیت: در برخی از آمفیبولیت‌ها، درشت بلورهای گارنت با قطر حدود ۵ میلی‌متر و با فراوانی حدود ۱۰ درصد دیده می‌شوند (شکل ۲ ج). این بلورهای گارنت بیشتر نیمه شکل دار بوده و گاهی دارای میانبارهایی از کوارتز نیز هستند. بلورهای کوارتز نیز به مقدار کم و حدود ۱۰ درصد حجم سنگ را به خود اختصاص داده‌اند که به علت تحمل تنش طی دگرگریختی به حالت ریزدانه درآمده‌اند و خاموشی موجی نشان می‌دهند. فلدوپات‌های قلیایی و پلازیوکلاز (۰-۴۰ درصد)، هورنبلندهای (۴۵ درصد) از کانی‌های اصلی این سنگ‌ها هستند. کلریت و کانی‌های کدر نیز بصورت فرعی در این سنگ‌ها حضور دارند. بلورهای تیتانیت نیز به طور پراکنده و از کانی‌های کمیاب این سنگ‌ها هستند. بافت‌های دیده شده در گارنت آمفیبولیت‌های منطقه اغلب از نوع نخ شکفتی و غربالی است.

با مقادیر کمتر فلدوپات قلیایی و کوارتز تشکیل می‌دهند (شکل ۲ ث). اپیدوت، اسفن، بیوتیت، کلریت، کلسیت و کانی‌های کدر نیز به صورت فرعی در این سنگ‌ها حضور دارند. بلورهای هورنبلندهای فشارهای زمین‌ساختی به طور موازی حضور دارند و در راستای فشارهای زمین‌ساختی به طور موازی با هم آرایش یافته و جهت یافته مشخص ایجاد کرده‌اند که در سنگ بافت نخ شکفتی را گسترش داده است. اندازه‌ی بلورهای هورنبلندهای متغیر بوده و در برخی از آمفیبولیت‌های درشت بلور، به بیش از یک سانتی‌متر می‌رسد. این بلورهای هورنبلندهای دو صورت منشوری و دوکی شکل دار تا نیمه‌شکل دار سبزرنگ با چند رنگی سبز تا قهوه‌ای کمرنگ حضور دارند. پلازیوکلاز موجود در آمفیبولیت‌های مورد بررسی با فراوانی حدود ۳۰ درصد، غنی از آلبیت و الیگوکلاز هستند و به صورت شکل دار تا نیمه شکل دار دیده می‌شوند. کوارتز در بیشتر نقاط این سنگ‌ها به چشم می‌خورد. این دانه‌های کوارتز به صورت ریز و بی‌شکل



شکل ۲ تصاویر میکروسکوپی (در نور قطبیده متقاطع، XPL) از متابولیت‌های منطقه گل‌گهر: (الف) ب) درشت بلور گارنت به همراه موسکویت و بیوتیت در گارنت میکاشیست‌ها، پ) رشته‌های سیلیمانیت به همراه کانی‌های کدر در سیلیمانیت شیست‌ها، ت) آمفیبول شیست‌ها، ث) آمفیبولیت‌ها به همراه جهت یافته‌ی بلورهای آمفیبول و پلازیوکلازها با ماکل چندریختی و ج) گارنت آمفیبولیت‌ها علائم اختصاری کانی‌ها برگرفته از مرجع [۱۵] است.

عضو انتهایی یعنی آنیت_۲ KFe₃AlSi₃O₁₀(OH)₂, سیدروفیلیت KFe₂Al[Al₂Si₂O₁₀] OH₂, فلوگوپیت KMg₃AlSi₃O₁₀(OH)₂ و ایستونیت KMg₂Al [Al₂Si₂O₁₀] (OH)₂ است که بر پایه این چهار فاز، نموداری به نام چهارضلعی (ASPE) طراحی شده است که برای تعیین ترکیب میکاهای هشت‌وجهی Fe/(Fe + Mg) و Al^{IV} به کار گرفته شده‌اند. ترکیب بیشتر بیوتیت‌های سنگ‌های دگرگونی منطقه گل‌گهر در نمودار رده‌بندی میکاهای [۱۶]، در گستره ترکیبی بین سیدروفیلیت و آنیت قرار دارند (شکل ۳ الف). همه نمونه‌ها دارای $5 > \text{Mg}/(\text{Mg} + \text{Fe}) > 3$ هستند. نمودار تعییرات Si/Fe/(Fe + Mg) مجموع > 3 نشان می‌دهد که این بیوتیت‌ها از نوع بیوتیت‌های غنی از منیزیم هستند (شکل ۳ ب).

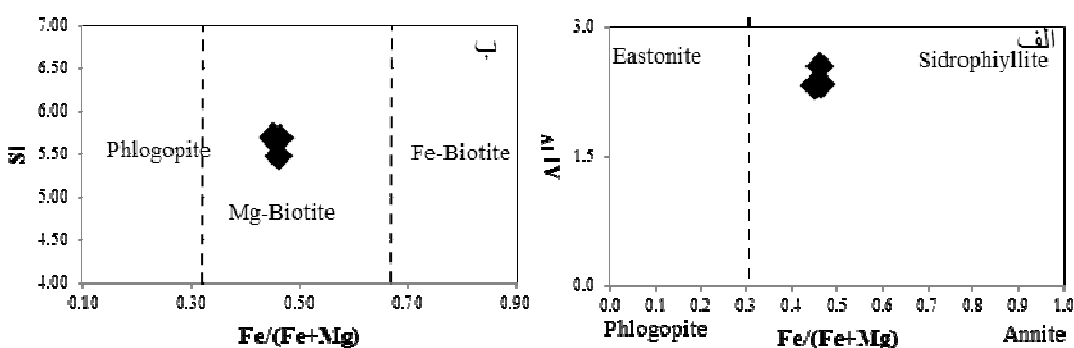
شیمی کانی‌ها

بررسی شیمی کانی‌ها نقش مهمی در شناخت شرایط فیزیکوشیمیایی تشکیل سنگ‌های منطقه دارد. ترکیب دقیق شیمی کانی‌ها با استفاده از تجزیه ریزکاو الکترونی بر کانی‌های اصلی و فرعی تعیین و سپس با استفاده از نتایج شیمی کانی‌های بیوتیت، گارنت، پلازیوکلаз و آمفیبول، شرایط دما و فشار طی دگرگونی مشخص شد.

بیوتیت: بیوتیت از کانی‌های مهم فرومیزین در سنگ‌هاست. از ترکیب شیمیایی بیوتیت‌ها می‌توان برای تعیین شرایط فیزیکوشیمیایی تشکیل این کانی استفاده کرد. نتایج تجزیه ریزکاو الکترونی بیوتیت‌ها در جدول ۱ ارائه شده است. فرمول ساختاری بیوتیت و نوع آن‌ها بر اساس نتایج تجزیه شیمی و تعداد ۲۲ اکسیژن تعیین شده است. بیوتیت محلول جامد چهار

جدول ۱ نتایج تجزیه ریزکاو الکترونی بیوتیت‌های منطقه گل‌گهر از درون کانی گارنت (مقادیر F و Cl اندازه‌گیری و مقدار OH محاسبه شده است. همه Fe در این نمونه‌ها دو ظرفیتی فرض شده است).

نقاط	۱-۲	۱-۴	۱-۵
گارنت میکاشیست (بیوتیت)			
(Wt%) ترکیب اکسید			
SiO ₂	۳۸,۴۶	۳۸,۱۱	۳۵,۰۷
TiO ₂	۰,۷۹	۰,۸۶	۰,۹۲
Al ₂ O ₃	۱۸,۵۶	۱۸,۱۵	۱۷,۹۳
FeO	۱۷,۵۴	۱۷,۴۶	۱۷,۴۳
MnO	۰,۱۷	۰,۰۷	۰,۱۸
MgO	۱۱,۷۵	۱۱,۴۹	۱۱,۳۱
CaO	۰,۰۱	۰,۰۶	۰,۰۴
Na ₂ O	۰,۲۲	۰,۲۸	۰,۳۱
K ₂ O	۹,۱۱	۹,۱۴	۹,۲۲
BaO	۰,۱۷	۰,۰۰	۰,۱۳
NiO	۰,۰۳	۰,۰۰	۰,۰۱
F	۰,۲۹	۰,۰۱	۰,۱۳
Cl	۰,۰۰	۰,۰۰	۰,۰۶
OH	۳,۹۳	۴,۰۲	۳,۷۷
excess O	۰,۱۲	۰,۰۱	۰,۰۷
مجموع	۱۰۰,۹۱	۱۰۰,۰۳	۹۶,۴۴
تعداد کانیون‌ها بر اساس ۲۲ اکسیژن			
Si	۵۶۶	۵۶۷	۵۴۷
Ti	۰,۰۹	۰,۱۰	۰,۱۱
Al ^{IV}	۲,۳۴	۲,۳۳	۲,۵۳
Al ^{VI}	۰,۸۹	۰,۸۵	۰,۷۶
Fe	۲,۱۶	۲,۲۲	۲,۲۷
Mn	۰,۰۲	۰,۰۱	۰,۰۲
Mg	۲,۵۸	۲,۵۵	۲,۶۳
Ca	۰,۰۰	۰,۰۱	۰,۰۱
Na	۰,۰۶	۰,۰۸	۰,۰۹
K	۱,۷۱	۱,۷۳	۱,۸۴
Ba	۰,۰۱	۰,۰۰	۰,۰۱
Ni	۰,۰۰	۰,۰۰	۰,۰۰
F-mol	۰,۱۳	۰,۰۱	۰,۰۶
Cl-mol	۰,۰۰	۰,۰۱	۰,۰۲
OH-mol	۳,۸۷	۳,۹۹	۳,۹۲
Mg/Mg+Fe	۰,۵۴	۰,۵۳	۰,۵۴



شکل ۳ جایگاه بیوتیت‌های تجزیه شده بر (الف) نمودار $\text{Al}^{\text{IV}}/\text{Si}$ نسبت به $\text{Fe}/(\text{Fe}+\text{Mg})$ [۱۶] و (ب) نمودار Si نسبت به $\text{Fe}/(\text{Fe}+\text{Mg})$ [۱۷].

با ریزکاو الکترونی تجزیه شدند. برای محاسبه درصد مولی اعضاً نهایی گارنت بر حسب نسبت $\text{Fe}^{+2}/\text{Fe}^{+3}$ و تعیین نوع گارنت از روش مرجع [۱۹] استفاده شد. ترکیب گارنت‌های موجود در گارنت میکاشیست‌های مورد بررسی غنی از آلماندن $\text{Alm}_{61.55-63.31}\text{Sps}_{4.02-6.58}\text{Prp}_{9.54-13.97}\text{Grs}_{18.82-20.73}$ و به صورت $\text{Alm}_{66.5-67.2}\text{Sps}_{3.1-3.9}\text{Prp}_{14.7-12.8}\text{Grs}_{14.7-15.1}$ هستند. گارنت‌های موجود در گارنت آمفیبولیت‌های منطقه گل‌گهر نیز غنی از آلماندن و به صورت (جدول ۲). چنان‌که دیده می‌شود، سه سازای مهم در ترکیب گارنت‌های مورد بررسی آلماندن، پیروپ و گروسوپلار هستند.

گارنت: گارنت‌ها از مهم‌ترین گروه کانی‌های ارتوسیلیکاتی هستند که در انواع گسترده‌ای از محیط‌های زمین‌شناسی یافت می‌شوند [۱۸]. در واقع کانی‌های گروه گارنت مشخص کننده سنگ‌های دگرگونی هستند، اما در بعضی سنگ‌های آذرین و همچنین در رسوب‌ها به صورت دانه‌های تخریبی نیز دیده می‌شوند. در اصل گارنت را می‌توان شاخص سنگ‌زادی مفیدی تلقی کرد، البته نه فقط به دلیل پایداری آن در گستره وسیعی از دما، بلکه توزیع آهسته کاتیون‌ها در گارنت موجب می‌شود که بتوان آن را در بسیاری از دما‌سنج‌ها به کار برد.

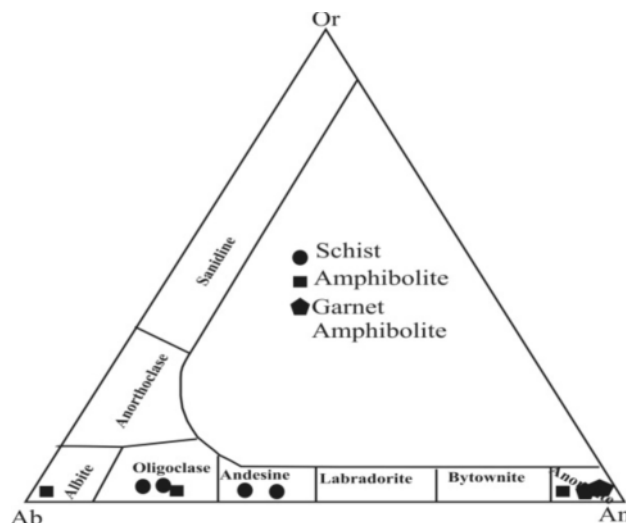
برای بررسی ترکیب شیمیایی گارنت در سنگ‌های مورد بررسی منطقه گل‌گهر، نمونه‌های مختلف گارنت میکاشیست‌ها

جدول ۲ نتایج تجزیه ریزکاو الکترونی گارنت در گارنت شیست‌ها و گارنت آمفیبولیت‌های منطقه گل‌گهر (درون کانی گارنت).

نقاط	GO4-70-8	GO4-70-7	GO4-70-6		GO2-98-1-6	GO2-98-1-7	
گارنت میکاشیست نمونه						گارنت آمفیبولیت	
(wt%) ترکیب اکسید							
SiO_2	۳۸,۸۳	۳۸,۱۰	۳۸,۹۵		۳۷,۳۴	۳۶,۵۱	
TiO_2	۰,۰۰	۰,۰۰	۰,۰۵		۰,۰۵	۰,۰۰	
Al_2O_3	۲۱,۱۵	۲۱,۹۸	۲۱,۷۱		۲۲,۳۱	۲۱,۷۰	
FeO	۲۸,۶۴	۲۹,۶۴	۲۹,۴۰		۳۱,۸۴	۳۱,۳۵	
MnO	۱,۸۴	۲,۰۴	۱,۹۷		۱,۳۶	۱,۶۶	
MgO	۳,۵۶	۲,۵۰	۲,۶۵		۳,۶۸	۳,۱۴	
CaO	۷,۵۳	۷,۵۱	۶,۸۷		۵,۴۸	۵,۴۸	
مجموع	۱۰,۱۶	۱۰,۱۸	۱۰,۱۶		۱۰,۲۰۶	۹۹,۸۵	
تعداد کاتیون‌ها براساس ۱۲ اکسیژن							
Si	۳,۰۳	۳,۰۰	۳,۰۱		۲,۹۱	۲,۹۱	
Ti	۰,۰۰	۰,۰۰	۰,۰۰		۰,۰۰	۰,۰۰	
Al	۱,۹۴	۱,۹۹	۱,۹۸		۲,۰۵	۲,۰۵	
Fe^{+3}	۰,۰۰	۰,۰۰	۰,۰۱		۰,۱۴	۰,۱۳	
Fe^{+2}	۱,۸۶	۱,۹۰	۱,۸۹		۱,۹۳	۱,۹۶	
Mn	۰,۱۲	۰,۲۰	۰,۱۳		۰,۰۹	۰,۱۱	
Mg	۰,۴۱	۰,۲۹	۰,۴۲		۰,۴۳	۰,۳۷	
Ca	۰,۶۳	۰,۶۲	۰,۵۷		۰,۴۶	۰,۴۷	
مجموع	۸	۸	۸		۸	۸	
٪ (کسر مولی) سازای گارنت							
آلمندین	۶۱,۵۵	۶۳,۳۱	۶۲,۱۹		۶۶,۵۰	۶۷,۲۰	
اسپسارتین	۴,۰۲	۶,۵۸	۴,۲۸		۳,۱	۳,۹	
پیروپ	۱۳,۶۶	۹,۵۴	۱۲,۹۷		۱۴,۷	۱۲,۸	
گروسوپلار	۲۰,۷۳	۲۰,۵۴	۱۸,۸۲		۱۴,۷	۱۵,۱	

۹۹.۸۷ است (شکل ۴). نتایج تجزیه ریزکاو الکترونی فلدسپارهای موجود در متاپلیت‌های منطقه در جدول ۳ آرائه شده است. افزایش مقدار انورتیت پلاژیوکلаз در گارنت آمفیبولیت‌ها نسبت به آمفیبولیت‌ها و متاپلیت‌ها نشان از افزایش دما و فشار و پیشرفت دگرگونی دارد.

فلدسپارها: نقاط مختلف از فلدسپارهای منطقه در نمونه‌های متاپلیتی با ریزکاو الکترونی تجزیه شدند. بر اساس تقسیم‌بندی مرجع [۱۸]، ترکیب پلاژیوکلاز شیستهای منطقه در گستره‌ای بین $An_{41.12}$ تا $An_{41.98}$ قرار دارند. ترکیب پلاژیوکلاز در آمفیبولیت‌ها $An_{4.13-92.60}$ ، و در گارنت آمفیبولیت‌ها $An_{96.80}$



شکل ۴ ردیبندی فلدسپارها در سنگ‌های دگرگونی منطقه گل‌گهر [۱۶].

جدول ۳ نتایج تجزیه ریزکاو الکترونی فلدسپارها در متاپلیت‌های منطقه گل‌گهر.

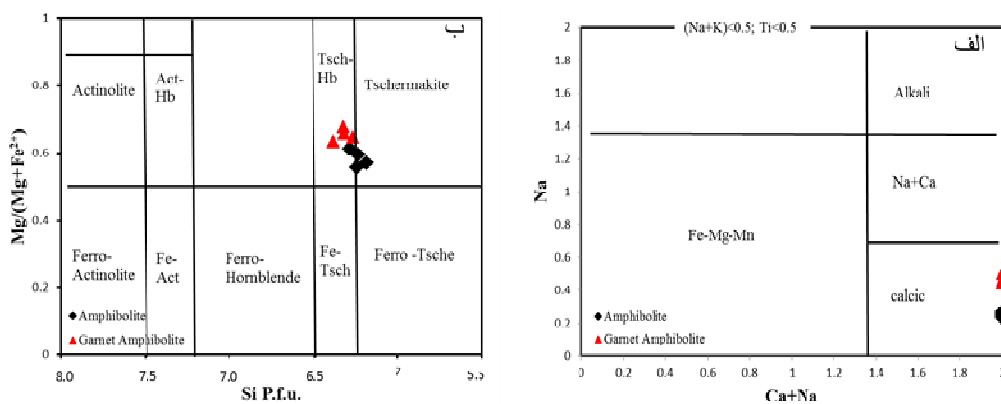
نقاط	۱-۳	۱-۴	۲-۶	۲-۷	۱-۸	۳-۷	۲-۷	۲-۱	۴-۶
سنگ			میکلاشیست			آمفیبولیت		گارنت آمفیبولیت	
امفیبولیت (wt%)									
SiO ₂	۵۹.۴۸	۶۱.۴۲	۶۲.۸۳	۶۵.۹۲	۶۴.۰۶	۶۹.۱۵	۶۶.۲۳	۵۵.۶۴	۲۶.۰۹
Al ₂ O ₃	۲۴.۳۲	۲۳.۳۰	۲۱.۵۴	۲۱.۴۸	۲۲.۶۲	۲۰.۵۶	۲۲.۸۱	۲۲.۹۶	۱۵.۴۵
TiO ₂	۰.۰۰	۰.۰۳	۰.۰۰	۰.۰۱	۰.۰۱	۰.۰۰	۰.۰۰	۰.۰۴	۰.۰۰
FeO _۱	۰.۷۶	۰.۳۸	۰.۰۷	۰.۰۳	۰.۰۸	۰.۰۳	۰.۰۴	۰.۰۹	۰.۰۱
MgO	۰.۰۰	۰.۰۳	۰.۰۶	۰.۰۳	۰.۰۰	۰.۰۰	۰.۰۱	۰.۰۲	۰.۰۳
Na ₂ O	۷/۳۳	۷/۰۲	۹.۷۹	۸.۸۱	۰.۵۶	۱۱.۱۱	۹.۳۳	۰.۰۳	۰.۰۰
CaO	۹.۳۳	۷.۳۹	۲.۶۶	۲.۵۸	۱۳.۴۰	۰.۸۷	۳.۴۹	۱۹.۷۵	۴۸.۹۵
MnO	۰.۰۷	۰.۰۰	۰.۰۲	۰.۰۱	۰.۰۴	۰.۰۰	۰.۰۰	۰.۰۰	۰.۰۰
F	۰.۰۰	۰.۲۶	۰.۱۹	۰.۰۳	۰.۰۳	۰.۰۰	۰.۰۶	۰.۱۵	۰.۰۶
K ₂ O	۰.۰۸	۰.۱۱	۰.۰۷	۰.۱۴	۰.۰۵	۰.۰۴	۰.۰۴	۰.۰۹	۰.۰۵
مجموع	۱۰۱.۳۷	۹۹.۸۴	۹۸.۱۶	۹۹.۰۷	۱۰۰.۱۸	۱۰۱.۷۷	۱۰۲.۰۳	۹۹.۱۳	۱۰۰.۷۳
تعداد کاتیون‌ها براساس ۸ اکسیجن									
Si	۲.۶۵	۲.۷۴	۲.۸۶	۱.۰۵	۲.۸۰	۲.۹۷	۲.۸۵	۲.۵۶	۱.۹۰
Al	۱.۲۸	۱.۲۳	۱.۱۴	۰.۴۰	۱.۱۶	۱.۰۴	۱.۱۶	۱.۲۵	۰.۹۶
Ti	۰.۰۰	۰.۰۰	۰.۰۰	۰.۰۰	۰.۰۰	۰.۰۰	۰.۰۰	۰.۰۰	۰.۰۰
Fe	۰.۰۳	۰.۰۱	۰.۰۰	۰.۰۰	۰.۰۰	۰.۰۰	۰.۰۰	۰.۰۰	۰.۰۰
Mg	۰.۰۰	۰.۰۰	۰.۰۰	۰.۰۰	۰.۰۰	۰.۰۰	۰.۰۰	۰.۰۰	۰.۰۰
Na	۰.۶۳	۰.۶۱	۰.۸۵	۰.۲۷	۰.۰۳	۰.۹۲	۰.۷۸	۰.۰۲	۰.۰۰
Ca	۰.۴۴	۰.۳۵	۰.۱۳	۰.۰۴	۰.۶۳	۰.۰۴	۰.۱۶	۰.۹۷	۲۷۶
Mn	۰.۰۰	۰.۰۰	۰.۰۰	۰.۰۰	۰.۰۰	۰.۰۰	۰.۰۰	۰.۰۰	۰.۰۰
F	۰.۰۰	۰.۰۴	۰.۰۳	۰.۰۰	۰.۰۱	۰.۰۰	۰.۰۱	۰.۰۲	۰.۰۱
K	۰.۰۰	۰.۰۱	۰.۰۰	۰.۰۰	۰.۰۰	۰.۰۰	۰.۰۰	۰.۰۱	۰.۰۰
(٪ سر مولی) سازای فلدسپار									
Or	۰.۴۱	۰.۶۵	۰.۴۱	۰.۹۱	۰.۴۴	۰.۲۳	۰.۲۳	۰.۵۴	۰.۱۳
Ab	۵۸.۴۶	۶۲.۸۲	۸۶.۶۰	۸۵.۳۲	۶.۹۷	۹۵.۶۴	۸۲.۶۹	۲.۶۶	۰.۰۰
An	۴۱.۱۲	۳۶.۵۳	۱۲.۹۸	۱۳.۷۷	۹۲.۶۰	۴.۱۳	۱۷.۰۸	۹۶.۸۰	۹۹.۸۷

گروه آمفیبولیت‌ها، سه نمونه مقدار $(\text{Na}+\text{K})_A$ کمی بیش از ۰.۵، اما مقدار Ti کمتر از ۰.۵ دارند. چنان که در شکل (۵) الف) نیز مشخص است، بر اساس رده‌بندی مرجع [۲۰]، ترکیب آمفیبول‌های مورد بررسی در گستره آمفیبول‌های کلسیمی قرار دارد. نامگذاری آمفیبول‌ها با استفاده از نمودار مرجع [۲۰]، در شکل ۵ ب آورده شده که ترکیب شیمیایی آمفیبول‌ها در گارنت آمفیبول‌ها از نوع چرم‌ماکیت‌هورنبلند است. ترکیب شیمیایی آمفیبول‌ها در آمفیبول‌ها از نوع چرم‌ماکیت و چرم‌ماکیت‌هورنبلند است.

آمفیبول: آمفیبول فراوان‌ترین کانی فرومیزین در سنگ‌های منطقه گل‌گهر است. نتایج تجزیه ریزکاو الکترونی آمفیبول‌های موجود در آمفیبولیت‌ها و گارنت آمفیبول‌ها، و فرمول ساختاری آن‌ها بر اساس ۲۳ اکسیژن در جدول ۴ ارائه شده است. بیشتر آمفیبول‌ها در دو گروه سنگی آمفیبولیت و گارنت آمفیبولیت، با $\text{Na}+\text{K}_A < 0.5$ و $\text{Ti} < 0.5$ در گروه آمفیبول‌های کلسیمی قرار می‌گیرند [۲۰]. تنها یک نمونه آمفیبول در گارنت آمفیبولیت، دارای مقدار Ti بیش از یک (a.p.f.u) بوده، اما مقدار $(\text{Na}+\text{K})_A$ این نمونه ۰.۵۱ است. در

جدول ۴ نتایج تجزیه ریزکاو الکترونی آمفیبول‌های موجود در آمفیبولیت و گارنت آمفیبولیت‌های منطقه گل‌گهر.

نمونه	نقاط	آمفیبولیت					گارنت آمفیبولیت			
		GO2-92 1-1	GO2-92 1-2	GO2-92 2-1	GO2-92 2-2	GO2-92 3-1	GO2-98 1-3	GO2-98 1-4	GO2-98 1-5	GO2-98 2-3
ترتیب اکسید (Wt%)										
SiO ₂	۴۵.۱۴	۴۴.۵۵	۴۴.۲۳	۴۵.۱۴	۴۴.۷۱	۴۴.۶۳	۴۵.۳۷	۴۴.۰۳	۴۴.۵۰	
TiO ₂	۰.۶۸	۰.۶۳	۰.۸۷	۰.۵۸	۰.۷۷	۰.۵	۰.۵۵	۰.۳۹	۰.۶۰	
Al ₂ O ₃	۱۱.۷۵	۱۲.۳۷	۱۱.۹۵	۱۱.۵۶	۱۱.۴۲	۱۴.۷۰	۱۵.۱۶	۱۶.۶۲	۱۲.۹۶	
Fe ₂ O ₃	۶.۱۷	۶.۸۶	۴.۲۱	۶.۵۰	۲.۴۰	۹.۵۰	۸.۷۸	۸.۳۷	۷.۴۸	
FeO	۱۲.۳۹	۱۱.۵۹	۱۳.۷۹	۱۲.۲۳	۱۳.۵۰	۸.۲۳	۹.۰۹	۹.۳۴	۹.۳۴	
MnO	۰.۳۳	۰.۳۲	۰.۳۰	۰.۳۱	۰.۲۹	۰.۲۴	۰.۰۷	۰.۱۲	۰.۱۳	
MgO	۱۰.۱۵	۱۰.۲۹	۹.۶۴	۱۰.۲۰	۹.۹۹	۹.۸۲	۹.۹۰	۹.۱۴	۹.۷۱	
CaO	۱۱.۲۲	۱۱.۲۲	۱۱.۲۲	۱۱.۲۸	۱۱.۰۸	۹.۸۲	۱۰.۲۲	۱۰.۲۳	۱۰.۰۲	
Na ₂ O	۱.۶۰	۱.۶۶	۱.۵۷	۱.۵۶	۱.۵۸	۲.۲۱	۲.۱۳	۲.۱۳	۲.۹۱	
K ₂ O	۱.۱۰	۱.۱۸	۱.۳۱	۰.۹۳	۱.۲۴	۰.۳۸	۰.۳۹	۰.۴۴	۰.۳۳	
F	۰.۰۰	۰.۰۰	۰.۰۳	۰.۰۰	۰.۱۸	۰.۲۲	۰.۰۰	۰.۰۰	۰.۳۳	
Cl	۰.۰۳	۰.۰۰	۰.۰۲	۰.۰۲	۰.۰۱	۰.۰۰	۰.۰۰	۰.۰۴	۰.۰۱	
OH	۲.۰۷	۲.۰۸	۲.۰۲	۲.۰۷	۱.۹۴	۲.۰۰	۲.۱۴	۲.۱۱	۱.۹۰	
~O	۰.۰۱	۰.۰۰	۰.۰۲	۰.۰۰	۰.۰۸	۰.۰۹	۰.۰۰	۰.۰۱	۰.۱۴	
مجموع	۱۰۲.۶۱	۱۰۲.۷۳	۱۰۱.۲۰	۱۰۲.۵۸	۱۰۰.۰۳	۱۰۲.۲۳	۱۰۲.۷۸	۱۰۲.۹۵	۱۰۰.۰۹	
تعداد کاتیوها براساس ۲۳ اکسیژن										
Si	۶.۵۳	۶.۴۳	۶.۵۱	۶.۵۳	۶.۶۲	۶.۳۶	۶.۳۶	۶.۲۴	۶.۴۷	
Ti	۰.۰۷	۰.۰۷	۰.۱۰	۰.۰۶	۰.۰۹	۰.۰۶	۰.۰۶	۰.۰۴	۰.۰۷	
Al ^{IV}	۱.۴۷	۱.۵۷	۱.۴۹	۱.۴۷	۱.۳۸	۱.۶۴	۱.۶۴	۱.۷۶	۱.۵۳	
Al ^{VI}	۰.۵۳	۰.۵۴	۰.۵۹	۰.۵۰	۰.۶۲	۰.۸۲	۰.۸۷	۰.۰۱	۰.۸۶	
Fe ^{۳+}	۰.۶۷	۰.۷۴	۰.۴۷	۰.۷۱	۰.۳۸	۱.۰۲	۰.۹۳	۰.۸۹	۰.۸۲	
Fe ^{۲+}	۱.۵۰	۱.۴۰	۱.۷۰	۱.۴۹	۱.۶۷	۰.۹۸	۱.۰۷	۱.۱۱	۱.۱۴	
Mn	۰.۰۴	۰.۰۴	۰.۰۴	۰.۰۴	۰.۰۴	۰.۰۳	۰.۰۱	۰.۰۱	۰.۰۲	
Mg	۲.۱۹	۲.۲۱	۲.۱۲	۲.۲۰	۲.۲۱	۲.۰۹	۲.۰۷	۱.۹۳	۲.۱۰	
Ca	۱.۷۴	۱.۷۳	۱.۷۷	۱.۷۵	۱.۷۶	۱.۵۰	۱.۵۴	۱.۵۵	۱.۵۶	
Na	۰.۴۵	۰.۴۷	۰.۴۵	۰.۴۷	۰.۴۵	۰.۶۱	۰.۵۸	۰.۵۹	۰.۵۴	
K	۰.۲۰	۰.۲۲	۰.۲۵	۰.۱۷	۰.۲۴	۰.۰۷	۰.۰۷	۰.۰۸	۰.۰۶	
F-mol	۰.۰۰	۰.۰۰	۰.۰۱	۰.۰۰	۰.۰۸	۰.۱۰	۰.۰۰	۰.۰۰	۰.۱۵	
Cl-mol	۰.۰۱	۰.۰۰	۰.۰۱	۰.۰۰	۰.۰۰	۰.۰۰	۰.۰۰	۰.۰۱	۰.۰۰	
OH-mol	۱.۹۹	۲.۰۰	۱.۹۸	۲.۰۰	۱.۹۲	۱.۹۰	۲.۰۰	۱.۹۹	۱.۸۵	
Mg(Mg+Fe)	۰.۵۰	۰.۵۱	۰.۴۹	۰.۵۰	۰.۵۲	۰.۵۱	۰.۵۱	۰.۴۹	۰.۵۲	



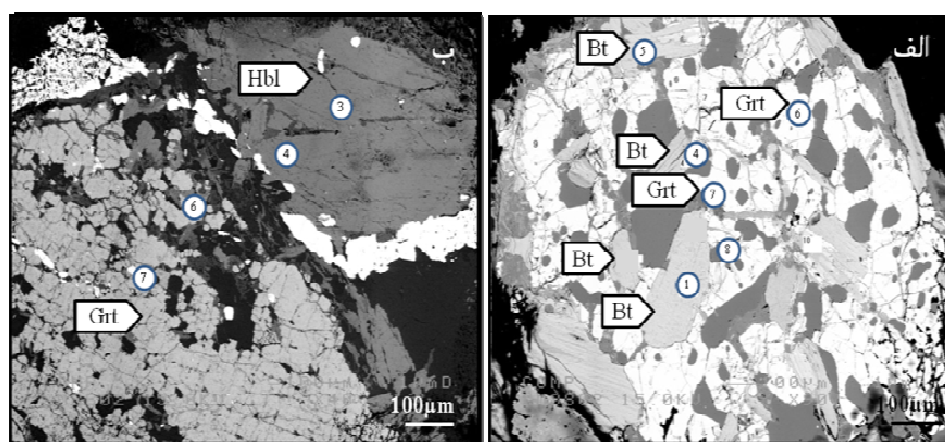
شکل ۵ الف) رده‌بندی آمفیبولهای موجود در نمونه‌های آمفیبولیت و گارنت آمفیبولهای کلسیمی قرار دارند. ب) جایگاه ترکیبی آمفیبولها در آمفیبولیتها و گارنت آمفیبولیتها منطقه گل‌گهر، بر اساس نمودار تقسیم‌بندی آمفیبولهای کلسیمی [۲۰].

همزیست در سنگ‌های رسی همواره مورد توجه زمین‌شناسان بسیاری بوده است [۲۵-۲۱]. روش‌های موجود دارای محدودیت‌هایی است. با بررسی محدودیت‌های هر روش و با توجه به ترکیب کانی‌های منطقه، از روش مرجع [۲۱] استفاده شد. در این روش، بیوپتیت‌های دارای تیتانیم بالا (بیش از ۰,۱۶۳) و یا گارنت دارای X_{Spss} بالا (بیش از ۰,۰۲) نباید استفاده شود. برای برآورده دمای حاکم بر دگرگونی، با استفاده از مقادیر اکسیدهای به‌دست آمده از تجزیه‌های ریزکاو الکترونی، گستره‌های دمایی تعیین شد. دمای به‌دست آمده حدود ۵۵۰ تا ۵۷۸ درجه سانتی‌گراد است (جدول ۵). گستره دمایی به‌دست آمده بیانگر اواخر رخساره شیست سبز تا اوایل رخساره آمفیبولیت است که با شواهد کانی‌شناسی این سنگ‌ها همخوانی دارد.

زمین دماسنگی و زمین فشارسنگی

تعیین دما و فشار کانی‌ها با توجه به ترکیب شیمیایی آن‌ها بر این فرض استوار است که مجموعه کانی‌های هر سنگ در شرایط تعادلی تشکیل شده باشند. در واقع، این دما فشارسنگ‌ها بر اساس حساسیت توزیع عناصر در ساختار کانی‌ها و یا طی تبدلات شیمیایی، نسبت به دما و یا فشار طراحی شده‌اند. چندین روش برآورد دما و فشار در سنگ‌های متاپلیتی و متاپارازیتی پیشنهاد شده است. در این پژوهش برای تعیین دما و فشار تشکیل سنگ‌ها سعی شد تا از کانی‌هایی که کنار هم در حال تعادل هستند استفاده شود و همچنین با توجه به ترکیب کانی‌ها روش مناسب از بین واسنجی‌های رایج انتخاب گردد (شکل ۶).

زمین دماسنگ گارنت-بیوپتیت: دماسنگی بر پایه تغییرات مقادیر Mg و Fe در گارنت و بیوپتیت‌های در حال تعادل و



شکل ۶ نقاط تجزیه شده توسط تجزیه ریزکاو الکترونی که نشان دهنده الف) وجود بیوپتیت درون گارنت‌های متاپلیت‌ها و ب) هم‌جواری هورنبلند و گارنت در گارنت آمفیبولیت‌های منطقه گل‌گهر هستند.

جدول ۵ نتایج دماسنجدی به روش گارنت - بیوپتیت برای متاپلیت‌های منطقه گل‌گهر.

نمونه	Go4-70-6	Go4-70-7	Go4-70-8
گارنت			
آلماندین	۰,۶۳	۰,۶۳	۰,۶۱
پیروپ	۰,۱۴	۰,۰۹	۰,۱۳
اسپیسارتین	۰,۰۴	۰,۰۶	۰,۰۴
گروسولار	۰,۱۹	۰,۲۰	۰,۲۱
بیوپتیت			
Mg/Mg+Fe	۰,۵۴	۰,۵۳	۰,۵۴
Ln Kd (Gt-Bi)	۱,۷	۲,۰۱	۱,۶۴
[21]	۵۵۰°C	۵۵۵°C	۵۷۸°C

گسترده‌ای از آمفیبول‌های کلسیمی به کار برد؛ بر این اساس دمای‌های ۵۸۹ تا ۶۱۳ درجه سانتی‌گراد برای آمفیبولیت‌ها و ۶۱۳ تا ۶۴۱ درجه سانتی‌گراد برای گارنت آمفیبولیت‌ها به دست آمد (جدول ۷). محاسبات فشارسنجی برپایه این روش نیز فشارهای ۴,۷ تا ۴,۹ کیلوبار را برای آمفیبولیت‌ها و ۴,۳ تا ۵,۶ کیلوبار را برای گارنت آمفیبولیت‌ها نشان می‌دهد (جدول ۷).

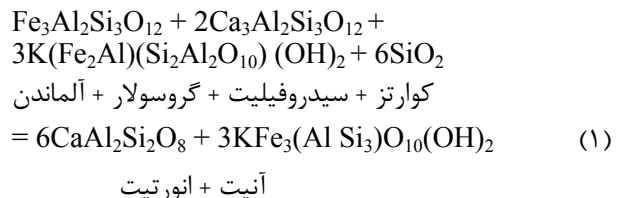
$$T[K] = \frac{4701}{(1.825 - 1.987 \ln(8/15.5 - \text{Si}_{\text{Am}}/\text{sum}_{\text{Kat}} + 0.07531))} \quad (۲)$$

$$P[\text{kbar}] = ((-425 - 1719 (\text{XAl}_M / (\text{XAl}_M + (\text{Fe}^{3+}_{\text{Am}} / 2.763))) +$$

$$2.75 T(K) + 1.987 T(K) \ln(\text{XAl}_M) + 1)/1000 \quad (۳)$$

که در این روابط T دما بر حسب کلوین، P فشار بر حسب کیلوبار، Al_{Am} , Si_{Am} و $\text{XAl}_M = (\text{Si}_{\text{Am}} + \text{Al}_{\text{Am}} - 8)/2.763$ و sum_{Kat} به ترتیب برابر با مقدار سیلیسیم، آلومینیم، $\text{Fe}^{3+}_{\text{Am}}$ و مجموع کاتیون‌ها در آمفیبول هستند.

فشارسنج گارنت-بیوپتیت-پلازیوکلاز-کوارتز؛ برای تعیین دما و فشار، از زمین دماسنجد گارنت-بیوپتیت-پلازیوکلاز و کوارتز (GBPQ) واسنجی شده توسط وو و همکاران [۲۶] استفاده شد که نتایج آن در جدول ۶ ارائه شده است. بر اساس این روش و رابطه زیر فشار ۳,۷ تا ۴,۶ کیلوبار برای میکاشیست‌ها تعیین شد:



دما فشارسنجی بر اساس ترکیب آمفیبول: زنك و همکارش [۲۷] به طور تجربی وابستگی آلومینیوم به فشار و سیلیسیم به دما را در آمفیبول‌های کلسیمی موجود در مجموعه کانیایی آمفیبول + پلازیوکلاز + کوارتز نشان دادند. این روش دمافسارسنجی اصلاح شد و می‌توان آن را در گستره ترکیبی

جدول ۶ نتایج فشارسنجی به روش GBPQ [۲۶] برای متاپلیت‌های منطقه گل‌گهر.

نقاط.	GO270-4-2	GO270-5-1	GO270-5-2	GO270-6-1
Xalm	۰,۶	۰,۷	۰,۶	۰,۶
Xpyr	۰,۱	۰,۲	۰,۲	۰,۲
Xgros	۰,۳	۰,۱	۰,۲	۰,۲
Xan	۰,۰	۰,۷	۰,۵	۰,۴
Xab	۰,۷	۰,۳	۰,۵	۰,۶
Xor	۰,۳	۰,۰	۰,۰	۰,۰
lnKd(Mg)	-۱۵,۷	۱۲,۹	۴,۳	۲,۷
lnKd(Fe)	-۲۱,۵	۸,۵	-۰,۸	-۲,۴
P(GBPQ, ave)	۴۶	۳۷	۴۶	۴۱
P(GBPQ, Model 1)	۶۶	۴۲	۵۸	۵۴
P(GBPQ, Model 2)	۲,۷	۳,۲	۲,۵	۲,۹

Xalm: مقدار فعالیت آرمانی آلماندین در گارنت؛ Xgros: مقدار فعالیت آرمانی گروسولار در گارنت؛ Xan: مقدار فعالیت آرمانی بیروپ در گارنت؛ Xpyr: مقدار فعالیت آرمانی پیروپ در گارنت؛ Xab: مقدار فعالیت آرمانی پیروپ در پلازیوکلاز؛ Xor: مقدار فعالیت آرمانی پیروپ در پلازیوکلاز؛ LnKd(Mg): ضریب توزیع Mg بین بیوپتیت و گارنت؛ LnKd(Fe): ضریب توزیع Fe بین بیوپتیت و گارنت؛ P(GBPQ, ave): فشار محاسبه شده بر اساس روش یک فشارسنج؛ P(GBPQ, Model 1): فشار محاسبه شده بر اساس روش GBPQ, Model 1؛ P(GBPQ, Model 2): فشار محاسبه شده بر اساس روش GBPQ, Model 2.

[DOI: 10.29252/ijcm.28.1.71] [DOR: 20.1001.1.17263689.1399.28.1.5.5] [Downloaded from ijcm.ir on 2024-05-07]

جدول ۷ برآورد دما و فشار دگرگونی بر اساس ترکیب آمفیبول [۲۷] منطقه گل‌گهر.

آمفیبولیت	T°C	P (kb)
GO2-92-1-1	۶۰۱,۲	۴,۷
GO2-92-1-2	۶۱۳,۲	۴,۹
GO2-92-2-1	۶۰۷,۹	۴,۹
GO2-92-2-2	۶۰۱,۲	۴,۷
GO2-92-3-1	۵۸۹,۹	۴,۷
گارنت آمفیبولیت		
GO2-98-1-3	۶۷۸,۴	۵,۵
GO2-98-1-4	۶۲۷,۲	۵,۶
GO2-98-1-5	۶۴۱,۸	۴,۲
GO2-98-2-3	۶۱۳,۷	۵,۴

deposit", Msc thesis, Shiraz Unieversity, (1999) (130p) (In persian).

[2] Poorkhak F., "Paragenesis, Petrogenesis and Petrochemicals of Gol-Gohar Iron Ore (Anomaly No. 30)" Msc thesis, Shahid Bahonar Unieversity, (2003) (296p) (In persian).

[3] Babaki A., Aftabi A.J., "Investigation on the model of Iron mineralization at Gol-Gohar Iron deposit, Sirjan-Kerman" Iranian of Geology Science, 16 (61) (2006) 40-59 (in Persian).

[4] Bayati rad Y., "Investigation origin of Gol-Gohar iron deposit", Msc thesis, Tehran Unieversity, (2009) (In persian).

[5] Asghari g., "Investigation of genesis and formation conditions of Gol-Gohar iron ore deposit and host rocks", Msc thesis, Tehran Unieversity, (2009) (In persian).

[6] Torabian S., "Mineralization and genesis of number 3 anomaly in Gol-Gohar mine, based on the trace elements", Msc thesis, Tarbiat Moalem Unieversity, Tehran (2006) (130p) (In persian).

[7] Dalfardi M., "Investigation of sulfur origin in minerals of sulfide mines 1, 2 and 3 of Gol-Gohar Iron Ore" Msc thesis, Damghan Unieversity, (2011) (134p).

[8] Wu C.M., Cheng B.H., "Valid garnet–biotite (GB) geothermometry and garnet–aluminum silicate–plagioclase–quartz (GASP) geobarometry in metapelitic rocks" Lithos 89 (2006) 1 – 23.

[9] Stockline J., "Structural history and tectonics of Iran", Areview- Amer: Ass. Petrol, Geol, Bull. 52.7 (1968) 1229-1258.

[10] Gilg H.A., Boni M., Balassone G., Allen C.R., Banks D., Moore F., "Marble-hosted sulfide ores in the Anguran Zn-(Pb-Ag) deposit, NWIran: interaction of sedimentary brines with a metamorphic core complex", Mineralium Deposita 41 (2006) 1-16.

[11] Daliran F., "The carbonate rock-hosted epithermal gold deposit of Agdarreh, Takab

برداشت

در منطقه گل‌گهر، سنگ‌های مختلفی از جمله سنگ‌های متاپلیتی و متابازیتی با ترکیب کانی‌شناسی متفاوت مربوط به دو رخساره شیست سبز و آمفیبولیت حضور دارند. با حضور کانی‌هایی چون موسکویت، کلریت و کوارتز در متاپلیت‌ها و همزمان با افزایش دما، کانی‌های بیوتیت و گارنت ایجاد شده‌اند. ظهور مجموعه کانی‌ایی هورنبلند + کوارتز و بدون پلازیوکلاز نشان از ورود به رخساره آمفیبولیت دارد که در ادامه با اضافه شدن کانی‌هایی چون پلازیوکلاز و گارنت به ترکیب سنگ به ترتیب آمفیبولیت و گارنت‌آمفیبولیت‌های مجموعه دگرگونی شکل گرفته‌اند. در نزدیکی کانسار، سیلیمانیت‌شیست‌های منطقه گل‌گهر حضور دارند که آشکارا نشان از افزایش دما و پیشرفت دگرگونی دارد. نتایج دما فشارسنجی برپایه تغییرات عناصر موجود در زوج گارنت-بیوتیت و گارنت-بیوتیت-پلازیوکلاز و کوارتز نشان دهنده دمایی در حدود ۵۷۸ تا ۵۵۰ درجه سانتی‌گراد و فشار ۳/۷ تا ۴/۶ برای میکاشیست‌های است. دمای محاسبه شده برای آمفیبولیت‌ها و گارنت آمفیبولیت‌ها به ترتیب ۵۸۹ تا ۶۱۳ درجه سانتی‌گراد و ۶۱۳ تا ۶۴۱ درجه سانتی‌گراد گزارش می‌شود. بر اساس نتایج به دست آمده، فشار حاکم بر گارنت آمفیبولیت‌های منطقه گل‌گهر برابر با ۴/۳ تا ۵/۶ کیلوبار است، در حالی که فشار به دست آمده از آمفیبولیت‌های مورد بررسی در منطقه گل‌گهر پایین‌تر و ۴/۷ تا ۴/۹ کیلوبار است. شرایط دما و فشار به دست آمده برای این سنگ‌ها نشان دهنده رخداد دگرگونی ناحیه‌ای پیشرونده از نوع ابوقوماست که با جایگاه زمین‌ساختی منطقه گل‌گهر و پهنه سندنج سیرجان به عنوان یک پهنه فرورانشی همخوانی دارد.

مراجع

- [1] Yaghoobi A., "Investigation of geochemistry and genesis of number 3 anomaly Gol-Gohar

- Stephenson N.C.N., Ungaretti L., Whittaker E.J.W., Youzhi G., "Nomenclature of amphiboles: Report of the subcommittee on amphiboles of the International Mineralogical Association, Commission on new minerals and mineral names", Canadian Mineralogist, Vol. 35 (1997) 219-246.
- [21] Hodges K. V. Y., Spear, F. S., "Geothermometry, geobarometry and the Al_2SiO_5 triple point at Mt. Moosilauke:, New Hampshire", American Mineralogist 67 (1982) 1118-1134.
- [22] Dasgupta S., Sengupta P., Guha D., Fukuoka M., "A refined garnet-biotite Fe-Mg exchange geothermometer and its application in amphibolites and granulites", Contributions to Mineralogy and Petrology 109 (1991) 130-137.
- [23] Holdaway M. J., Lee S. M., "Fe-Mg cordierite stability in high grade pelitic rocks based on experimental, theoretical and natural observations", Contribution to Mineralogy and Petrology 63 (1977) 175-198.
- [24] Perchuk L.L., Lavrent'eva I.V., "Experimental investigation of exchange equilibria in the system cordierite-garnet-biotite. In: Saxena, S.K. (Ed.), Kinetics and Equilibrium in Mineral Reactions", Springer-Verlag, New York, (1983) 199–239.
- [25] Ferry J.M., Spear F.S., "Experimental calibration of the partitioning of Fe and Mg between biotite and garnet", Contributions to Mineralogy and Petrology 66 (1978) 113–117.
- [26] Wu C., Zhang J., Ren L., Empirical garnet-biotite-plagioclase-quartz (GPQ) geobarometry in medium to high-grade metapelites", Journal of Petrology 45 (2004) 1907-1921.
- [27] Zenk M., Schulz B., "Zoned Ca-amphiboles and related P-T evolution in metabasites from the classical Barrovian metamorphic zones in Scotland", Mineralogical Magazine 68 (2004) 769-786.
- geothermal field, NW Iran—hydrothermal alteration and mineralization", Mineralium Deposita 43 (2008) 383–404.
- [12] Sabzehei M., "Geological map of Iran, 1:00000 series, Gol-gohar quadrangle", Geological Survey, Iran, (1994).
- [13] Berberian M., "Master blind thrust faults hidden under the Zagros folds: active basement tectonics and surface morphotectonics", Tectonophysics 241 (1995) 193–224.
- [14] Ghalamghash J., Mirnejad H., "Report of dating Gol-Gohar metamorphic complex, Tehran padir consulting engineer company", 40p (2008).
- [15] Whitney D., Evans B., "Abbreviations for names of rock forming minerals", American mineralogist 95 (2010) 185-187.
- [16] Deer W.A., Howie R.A., Zussman J., "An introduction to the rock forming minerals", 2nd edition, Longman Scientific and Technical, London (1992).
- [17] Foster M. D., "Interpretation of the composition of trioctahedral micas" United States Geological Survey Professional Paper, 354-B (1960) 11-46.
- [18] Deer W. A., Howie R. A., Zussman J., "Rock Forming Minerals", Volume 2B. Double-Chain Silicates. Geological Society, London, 2nd edition (1997).
- [19] Droop G. T. R., "A general equation for estimating Fe^{3+} Concentration in ferromagnesian silicates and oxides from microprobe analysis, using stoichiometric criteria", Mineralogical Magazine, 51 (1987) 431-435.
- [20] Leake B.E., Woolley A.R., Arps C.E.S., Birch W.D., Gilbert M.C., Grice J.D., Hawthorne F.C., Kato A., Kisch H.J., Krivovichev V.G., Linthout K., Laird J., Mandarino J., Maresch, W.V., Nickel E.H., Rock N.M.S., Schumacher J.C., Smith D.C.,